

大学物理(下)

华中科技大学

张智

zzhang@hust.edu.cn

第五篇 光学

(Optics)

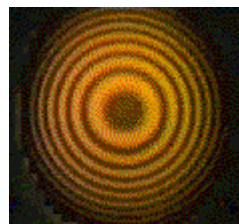
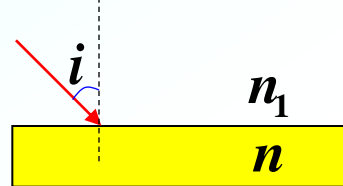
第4节 分振幅干涉

薄膜干涉

1. 等倾干涉 （厚度均匀的薄膜干涉）
2. 等厚干涉 （厚度不均匀的薄膜干涉）
 - 1) 劈尖干涉(空气隙劈尖)
 - 2) 牛顿环

1. 等倾干涉 (薄膜厚度均匀)

$$2d\sqrt{n^2 - n_1^2 \sin^2 i} + \frac{\lambda}{2} = \begin{cases} k\lambda & (k=1,2,\dots) \dots \text{明纹} \\ (2k+1)\frac{\lambda}{2} & (k=0,1,2,\dots) \dots \text{暗纹} \end{cases}$$

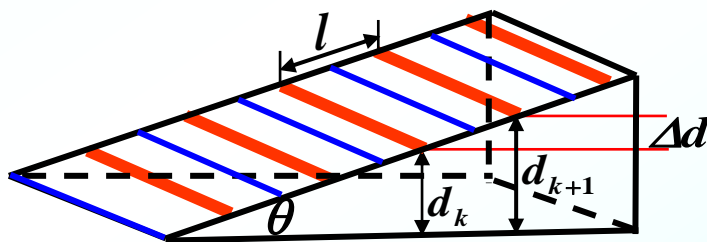


2. 等厚干涉 (薄膜厚度不均匀)

1) 劈尖干涉 (空气隙劈尖)

$$2d_k + \frac{\lambda}{2} = k\lambda \quad (k=1,2,\dots) \dots \text{明纹}$$

$$2d_k + \frac{\lambda}{2} = (2k+1)\frac{\lambda}{2} \quad (k=0,1,2,\dots) \dots \text{暗纹}$$

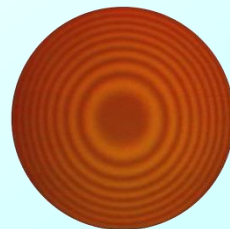
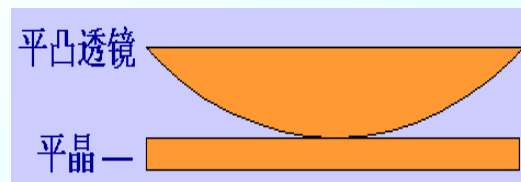


$$\Delta d = \frac{\lambda}{2}$$

$$l = \frac{\lambda}{2 \sin \theta}$$

2) 牛顿环

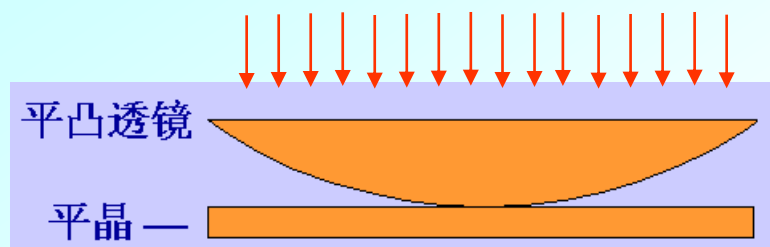
$$2d_k + \frac{\lambda}{2} = \begin{cases} k\lambda & k = 1,2,\dots \text{明} \\ (2k+1)\frac{\lambda}{2} & k = 0,1,2,\dots \text{暗} \end{cases}$$



暗环半径:

$$r_k = \sqrt{kR\lambda} \quad (k=0,1,\dots)$$

例: 如图, 在空气中单色光**垂直**入射。当平凸透镜垂直向上缓慢平移时, 可观察到**环状**干涉条纹 []



(A) 向右平移

(B) 向左平移

(C) 静止不动

(D) 向中心收缩

解: 考虑任意第 k 级明纹的变化情况。

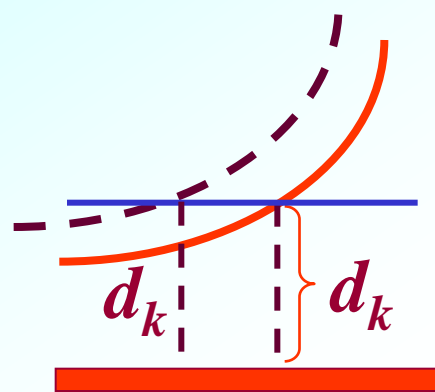
设第 k 级明纹处空气膜厚为 d_k , 则光程差满足 $\delta_k = 2d_k + \lambda/2 = k\lambda$, 所以, $d_k = (k - 1/2)\lambda/2$.

由上式可知, 第 k 级明纹所对应的空气膜的厚度是确定不变的。

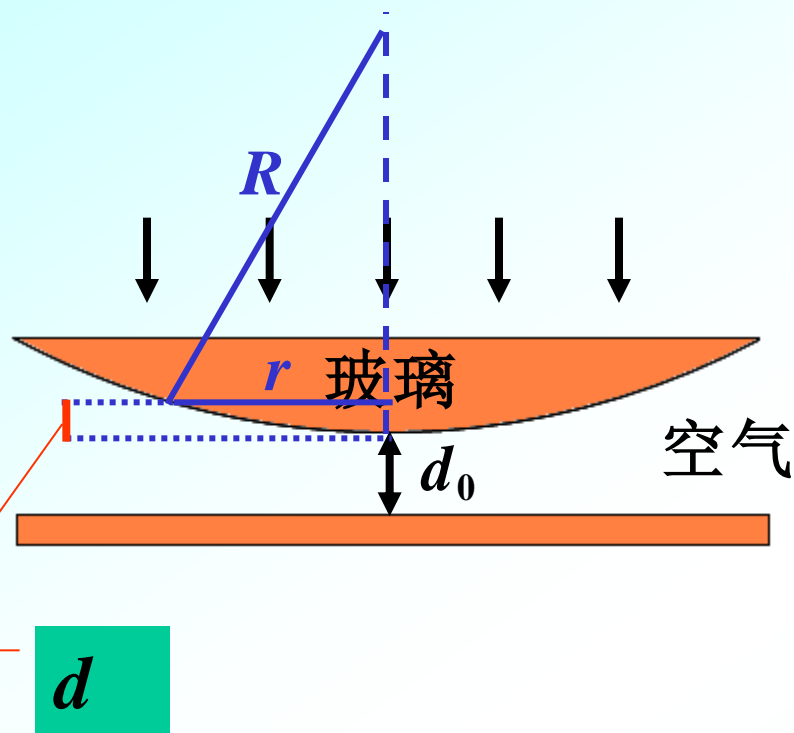
找出平移后空气膜的厚度为 d_k 的地方, 就知道了第 k 级明纹是怎么移动的。

可见, 在平凸透镜垂直向上平移的过程中, 第 k 级明纹向中心移动。

所以, 当平凸透镜垂直向上缓慢平移时, **环状干涉条纹向中心收缩**。



例：如图，用波长为 λ 的单色光垂直入射，平凸透镜的曲率半径为 R ，平凸透镜与平板玻璃间有一小间距 d_0 ，求牛顿环中各暗环的半径。



解：设第 k 级暗环的半径为 r 。

光程差如何表达？

$$\delta_k = 2(d + d_0) + \lambda/2 = (2k+1)\lambda/2 \quad (1)$$

由图可知：

$$\begin{aligned} r^2 &= R^2 - (R-d)^2 = d(2R-d) \\ &\approx 2Rd \quad (\because d \ll R) \therefore d = \frac{r^2}{2R} \end{aligned} \quad (2)$$

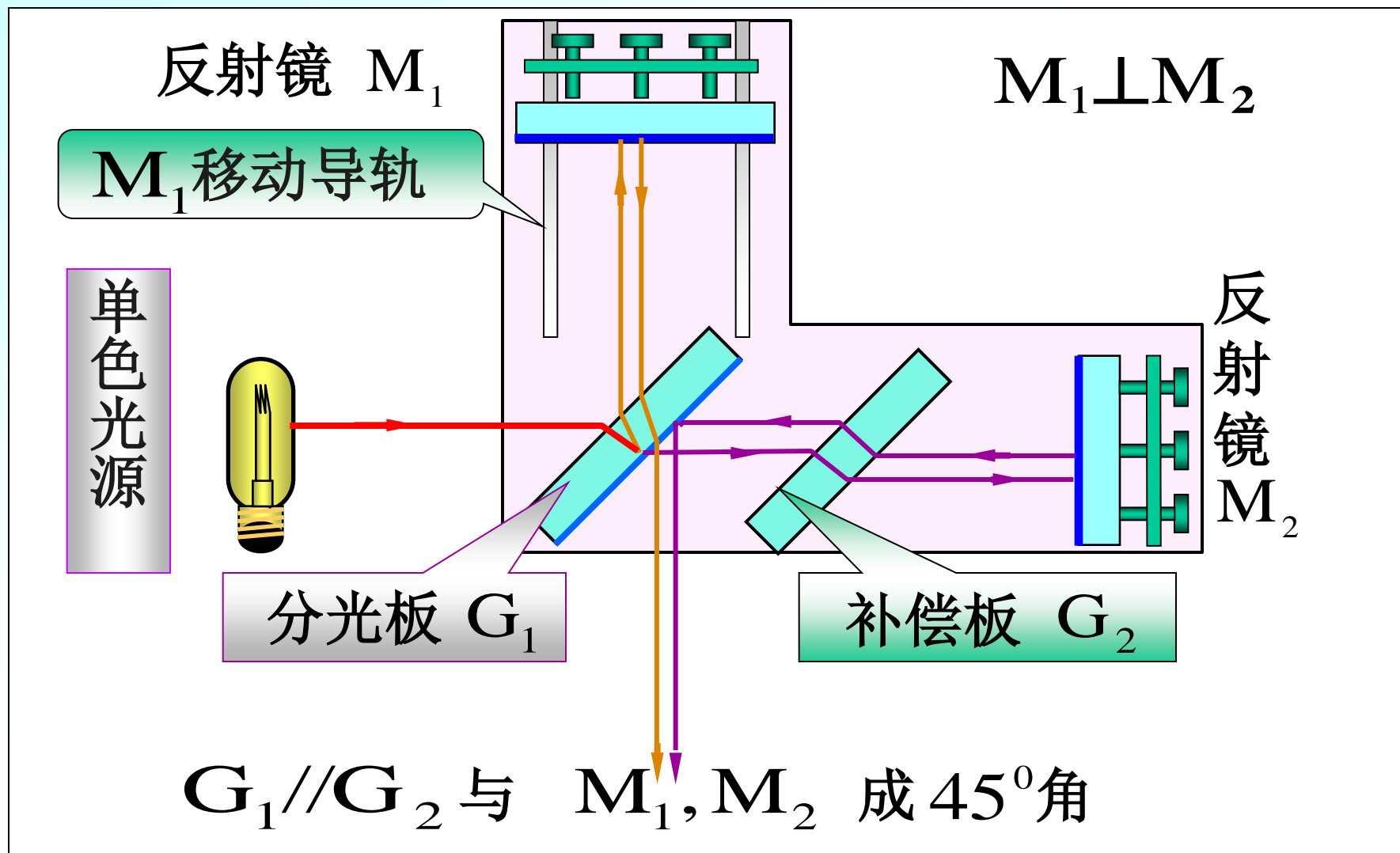
把(2)代入(1)得：

$$2\left(\frac{r^2}{2R} + d_0\right) + \frac{\lambda}{2} = (2k+1)\frac{\lambda}{2}$$

所以，第 k 级暗环的半径

$$r = \sqrt{R(k\lambda - 2d_0)}$$

3) 迈克耳逊干涉仪

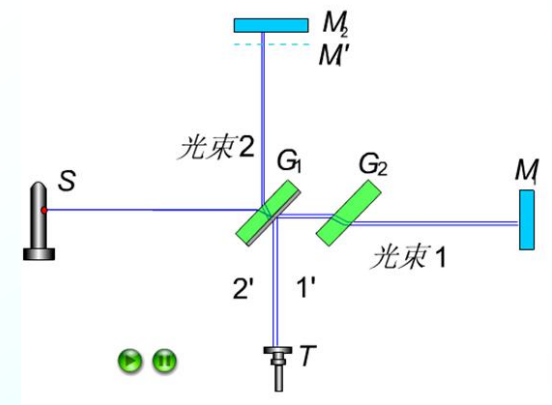
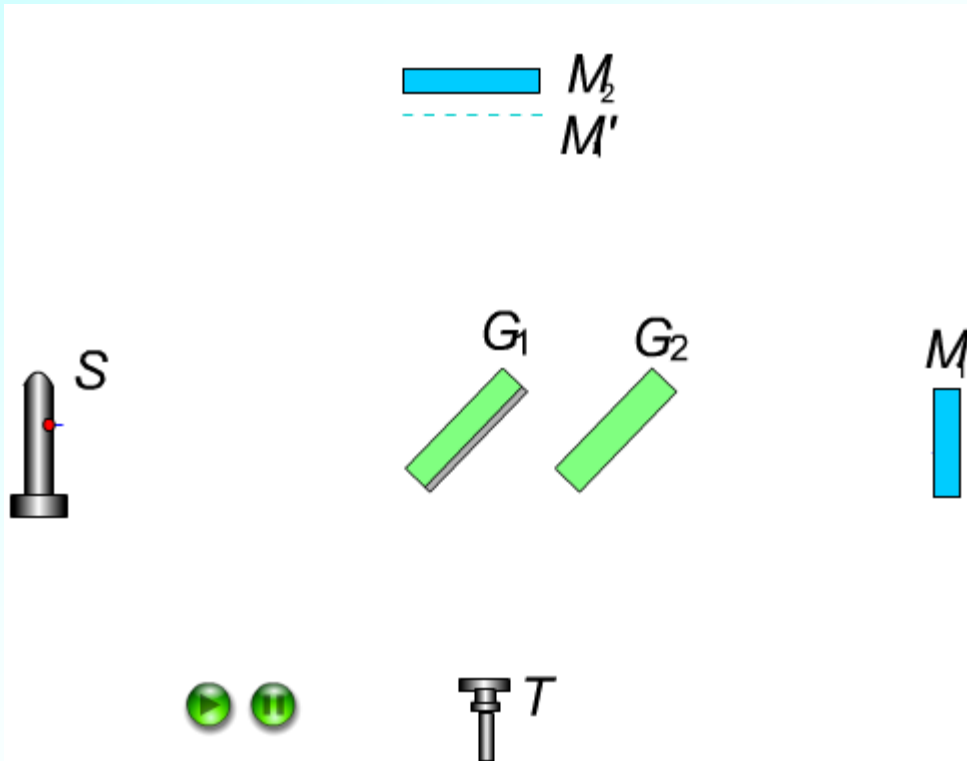


$$2d\sqrt{n^2 - n_1^2 \sin^2 i} + \frac{\lambda}{2} = \begin{cases} k\lambda & (k=1,2,\dots) \dots \text{明纹} \\ (2k+1)\frac{\lambda}{2} & (k=0,1,2,\dots) \dots \text{暗纹} \end{cases}$$

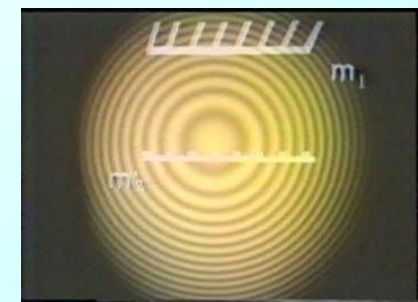
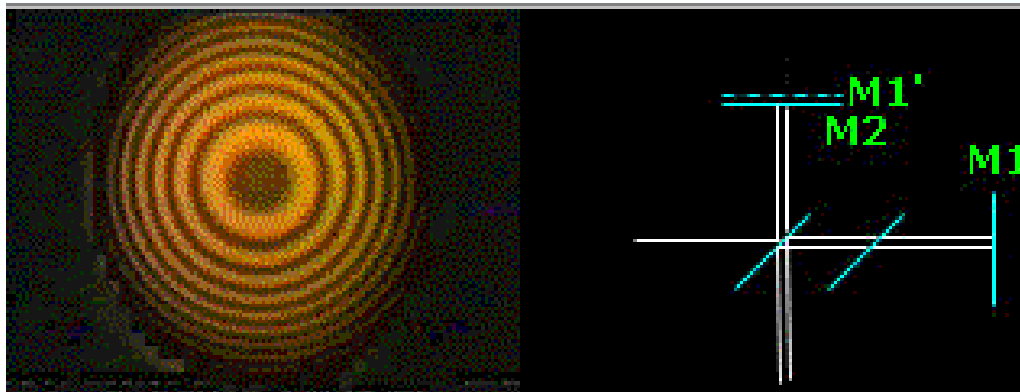
对中央明纹:

$$2d = k\lambda$$

d 每改变 $\lambda/2$, 中心就有一个亮斑冒出或缩进。

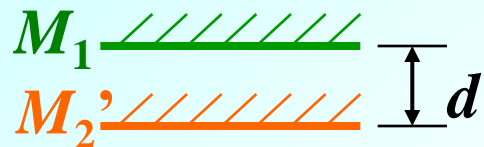


此动画有不准确处?



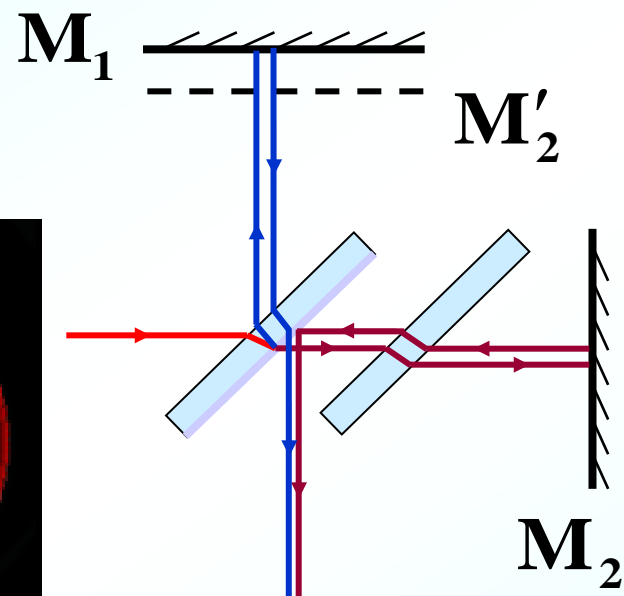
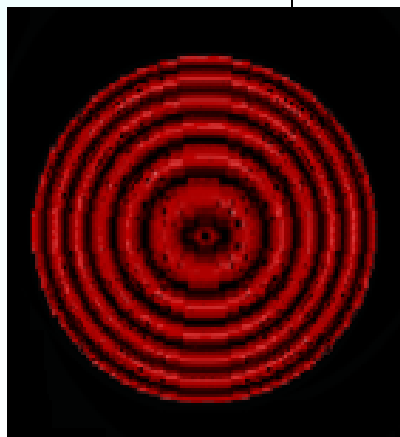
迈克耳逊干涉仪

当 $M_1 \perp M_2 \longrightarrow M_1 \parallel M_2'$

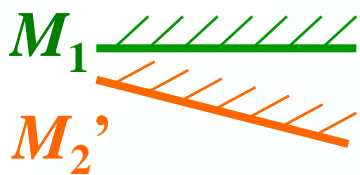


M_1 与 M_2' 形成厚度均匀的薄膜,

——等倾条纹

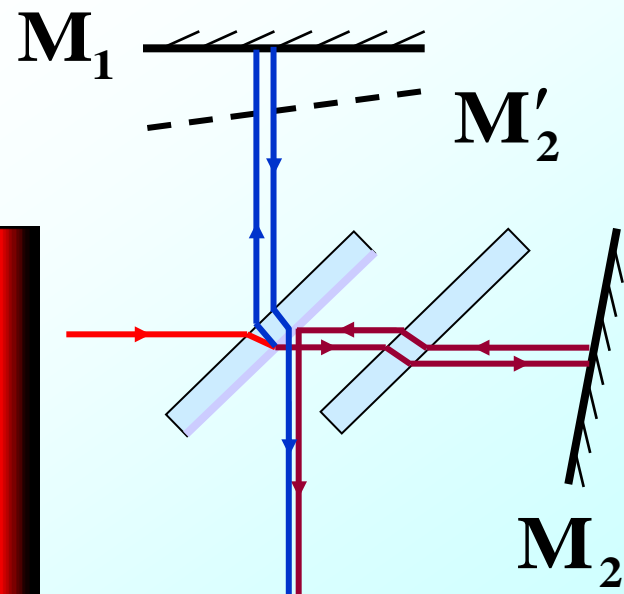
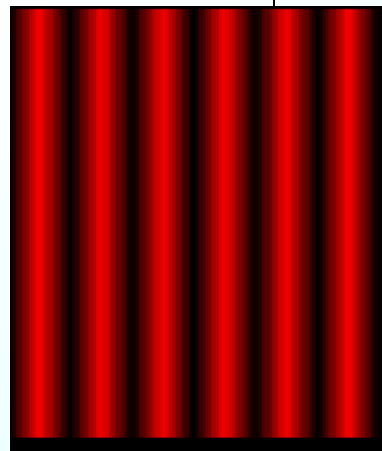


当 $M_1 \not\perp M_2 \downarrow M_1 \parallel M_2'$



M_1 与 M_2' 形成一空气隙劈尖,

——等厚条纹



干涉条纹的位置取决于光程差，只要光程差有微小的变化，干涉条纹就发生可鉴别的移动。

平移 M_2 ，由中央明纹满足的光程差：

$$\Delta r = 2d = k\lambda$$

知： Δr 改变 ' λ ' 这么长，中心就有一个亮斑冒出或缩进，相当于

M_2 平移 $\frac{\lambda}{2}$

中心有一个亮斑冒出或缩进

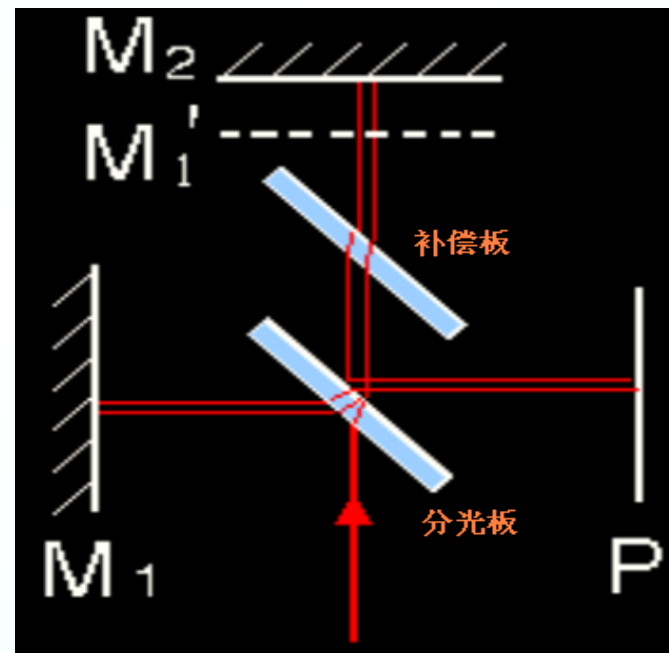
中心冒出或缩进的亮斑数目 N

M_2 平移的距离

$$\Delta d = N \frac{\lambda}{2}$$

$$\Delta d = N \frac{\lambda}{2}$$

$\left\{ \begin{array}{l} \text{已知 } \lambda \text{ 可测 } \Delta d \\ \text{已知 } \Delta d \text{ 可测 } \lambda \end{array} \right.$

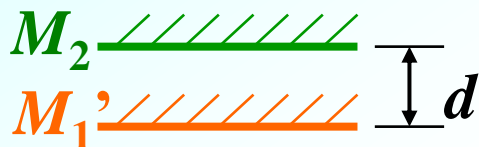


$$M_1 \perp M_2$$

◆ 用迈克耳逊干涉仪可以测量光的波长。

例: 若测得可动反射镜移动距离为 0.3220mm , 等倾干涉条纹在中心处缩进1204个条纹, 求所用光的波长。

解: 当 $M_1 \perp M_2 \longrightarrow M_1' \parallel M_2$



M_1' 与 M_2 形成厚度均匀的薄膜, 出现同心圆环状的等倾干涉条纹。

在中心处, 且 $i=0$, 故有: $\delta_k = 2d_k = k\lambda$

→ 中心处每缩进一个条纹, 移动的距离为 $\Delta d = \frac{\lambda}{2}$

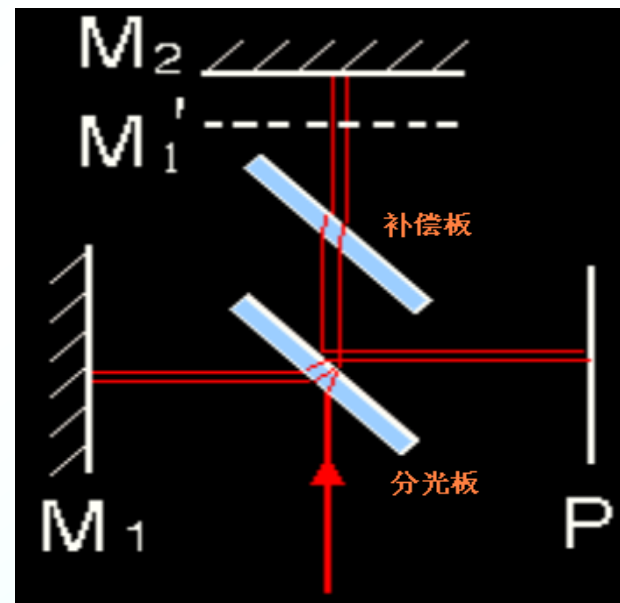
$$N \cdot \Delta d = \Delta L$$

移动的总距离

$$N \cdot \frac{\lambda}{2} = \Delta L$$

$$\lambda = 2 \cdot \Delta L / N = 2 \times 0.3220 / 1204 \\ = 5.348837209 \times 10^{-4} \text{mm}$$

$$\therefore \lambda = 534.9 \text{nm}$$



$$\delta = 2d \sqrt{n^2 - n_1^2 \sin^2 i}$$

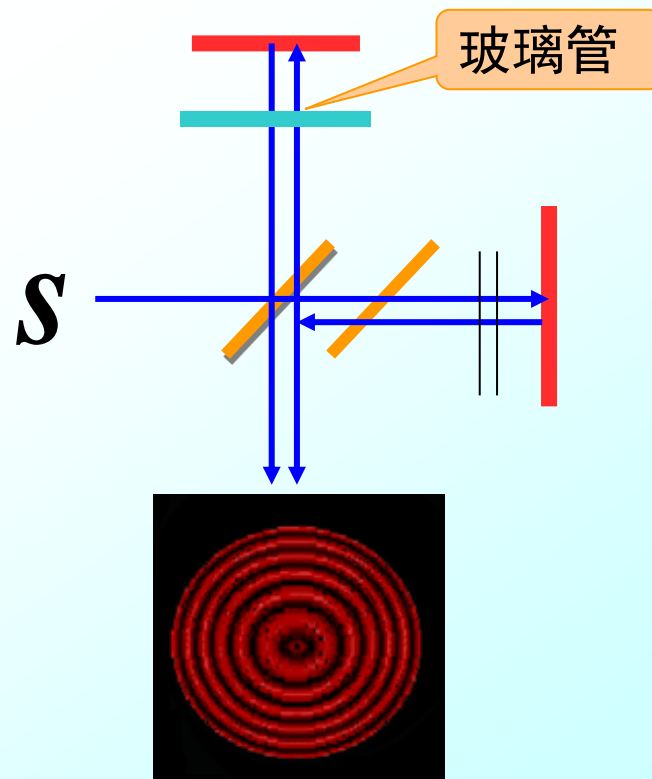
例：在迈克耳孙干涉仪的两臂中，分别插入 $l=10.0\text{cm}$ 长的玻璃管，其中一个抽成真空，另一个则储有压强为 $1.013\times 10^5\text{Pa}$ 的空气，用以测量空气的折射率 n 。设所用光波波长为 546nm ，实验时，向真空玻璃管中逐渐充入空气，直至压强达到 $1.013\times 10^5\text{Pa}$ 为止。在此过程中，观察到107.2条干涉条纹的移动，试求空气的折射率 n 。

解： $\delta_1 - \delta_2 = 2(n-1)l = 107.2\lambda$

$$n = 1 + \frac{107.2\lambda}{2l} = 1 + \frac{107.2 \times 546 \times 10^{-7} \text{cm}}{2 \times 10.0 \text{cm}} \\ = 1.00029$$

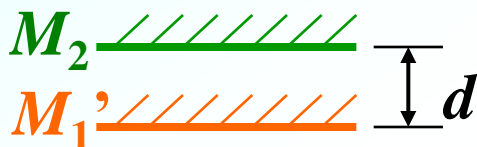


$\delta = N\lambda$ 知 ‘ δ ’ 改变 ‘ λ ’ 这么长，就有一条明纹移动。



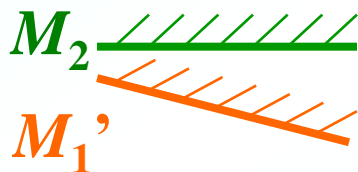
例：用迈克耳逊干涉仪做干涉实验，入射光的波长为 λ 。在转动反射镜 M_2 的过程中，在总的干涉区域宽度 L 内，观察到的完整的**直线状干涉条纹**数从 N_1 开始减少，而后突变为**同心圆环状**的等倾干涉条纹。若继续同方向转动 M_2 ，又会看到由疏变密的直线干涉条纹，直到在宽度 L 内有 N_2 条完整的干涉条纹为止。在此过程中 M_2 转过的角度是多少？ **解：**

当 $M_1 \perp M_2 \longrightarrow M_1 \parallel M_2'$

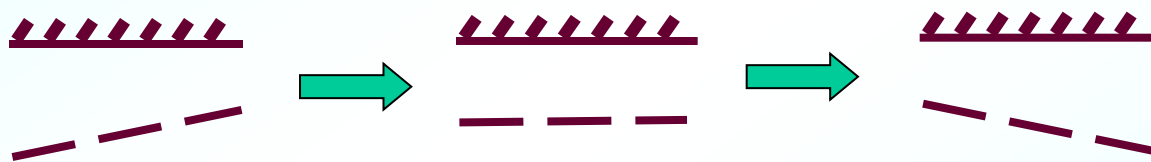


M_1 与 M_2' 形成厚度均匀的薄膜，出现同心圆环状的等倾干涉条纹。

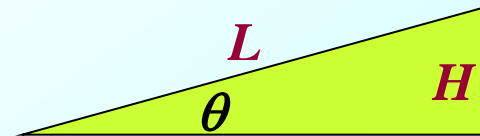
当 $M_1 \perp M_2 \longrightarrow M_1 \parallel M_2'$



M_2 与 M_1' 形成一空气劈尖，出现直线状的等厚干涉条纹。



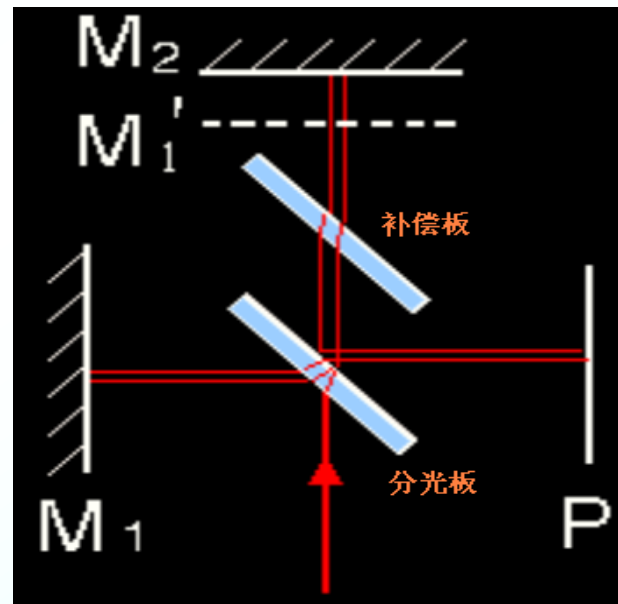
$\delta_k = 2d_k = k\lambda \longrightarrow$ 相邻两**明纹**对应的厚度差为： $\Delta d = \frac{\lambda}{2}$



$$\theta_1 = \frac{H_1}{L} = \frac{(N_1 - 1) \cdot \Delta d}{L} = \frac{(N_1 - 1) \cdot \lambda / 2}{L}$$

$$\theta_2 = \frac{H_2}{L} = \frac{(N_2 - 1) \cdot \Delta d}{L} = \frac{(N_2 - 1) \cdot \lambda / 2}{L}$$

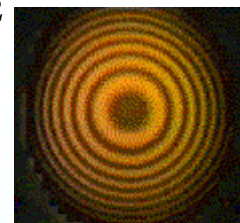
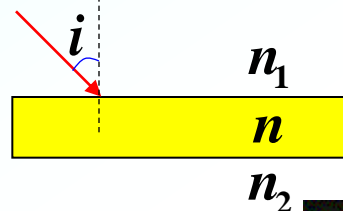
$$\begin{aligned} \Delta\theta &= \theta_1 + \theta_2 \\ &= \frac{(N_1 + N_2 - 2)\lambda}{2L} \end{aligned}$$



●分振幅干涉 (薄膜干涉)

1.等倾干涉 (薄膜厚度均匀)

$$2d\sqrt{n^2 - n_1^2 \sin^2 i} + \frac{\lambda}{2} = \begin{cases} k\lambda & (k=1,2,\dots) \dots \text{明纹} \\ (2k+1)\frac{\lambda}{2} & (k=0,1,2,\dots) \dots \text{暗纹} \end{cases}$$

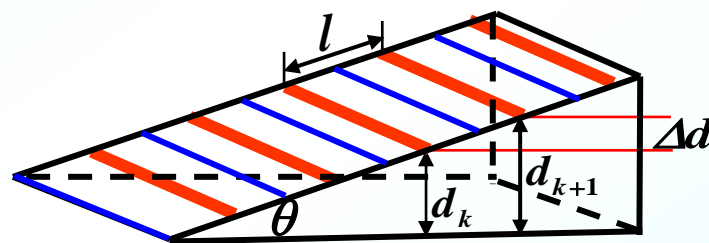


2.等厚干涉 (薄膜厚度不均匀)

1) 劈尖干涉 (空气隙劈尖)

$$2d_k + \frac{\lambda}{2} = k\lambda \quad (k=1,2,\dots) \dots \text{明纹}$$

$$2d_k + \frac{\lambda}{2} = (2k+1)\frac{\lambda}{2} \quad (k=0,1,2,\dots) \dots \text{暗纹}$$

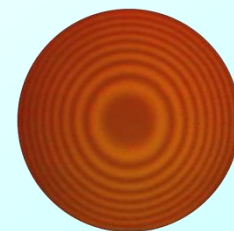
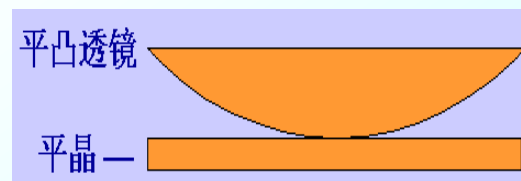


$$\Delta d = \frac{\lambda}{2}$$

$$l = \frac{\lambda}{2 \sin \theta}$$

2) 牛顿环

$$2d_k + \frac{\lambda}{2} = \begin{cases} k\lambda & k = 1,2,\dots \text{明} \\ (2k+1)\frac{\lambda}{2} & k = 0,1,2,\dots \text{暗} \end{cases}$$

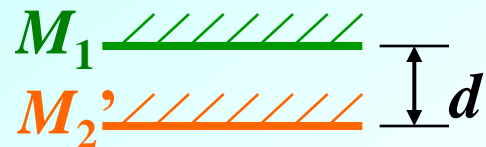


暗环半径:

$$r_k = \sqrt{kR\lambda} \quad (k=0,1,\dots)$$

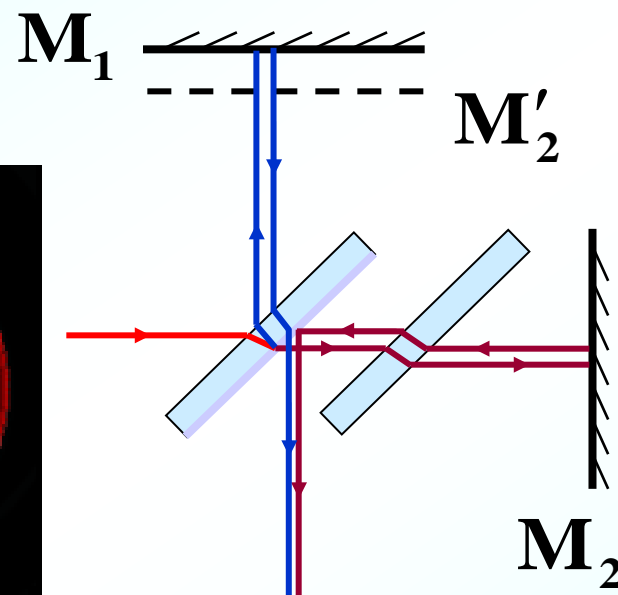
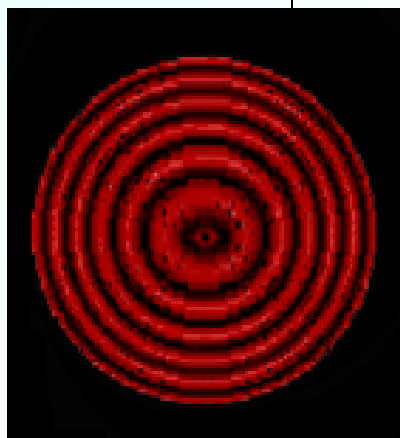
3) 迈克耳逊干涉仪

当 $M_1 \perp M_2 \longrightarrow M_1 \parallel M_2'$



M_1 与 M_2' 形成厚度均匀的薄膜,

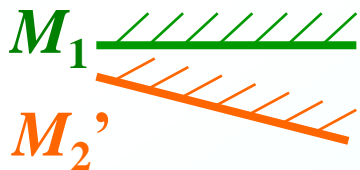
——等倾条纹



中心冒出或缩进的亮斑数目 N 与 M_1 平移的距离:

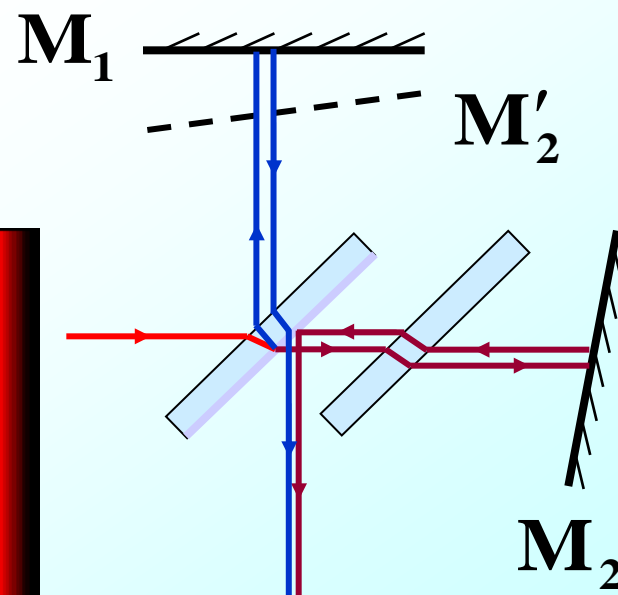
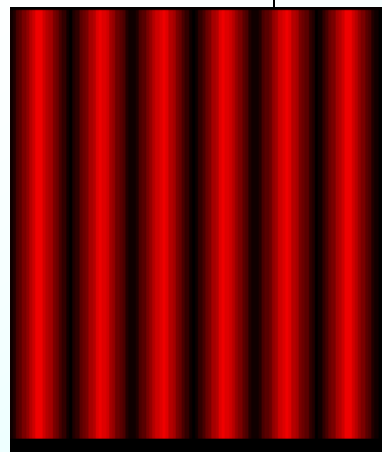
$$\Delta d = N \frac{\lambda}{2}$$

当 $M_1 \not\perp M_2 \downarrow M_1 \not\parallel M_2'$



M_1 与 M_2' 形成一空气隙劈尖,

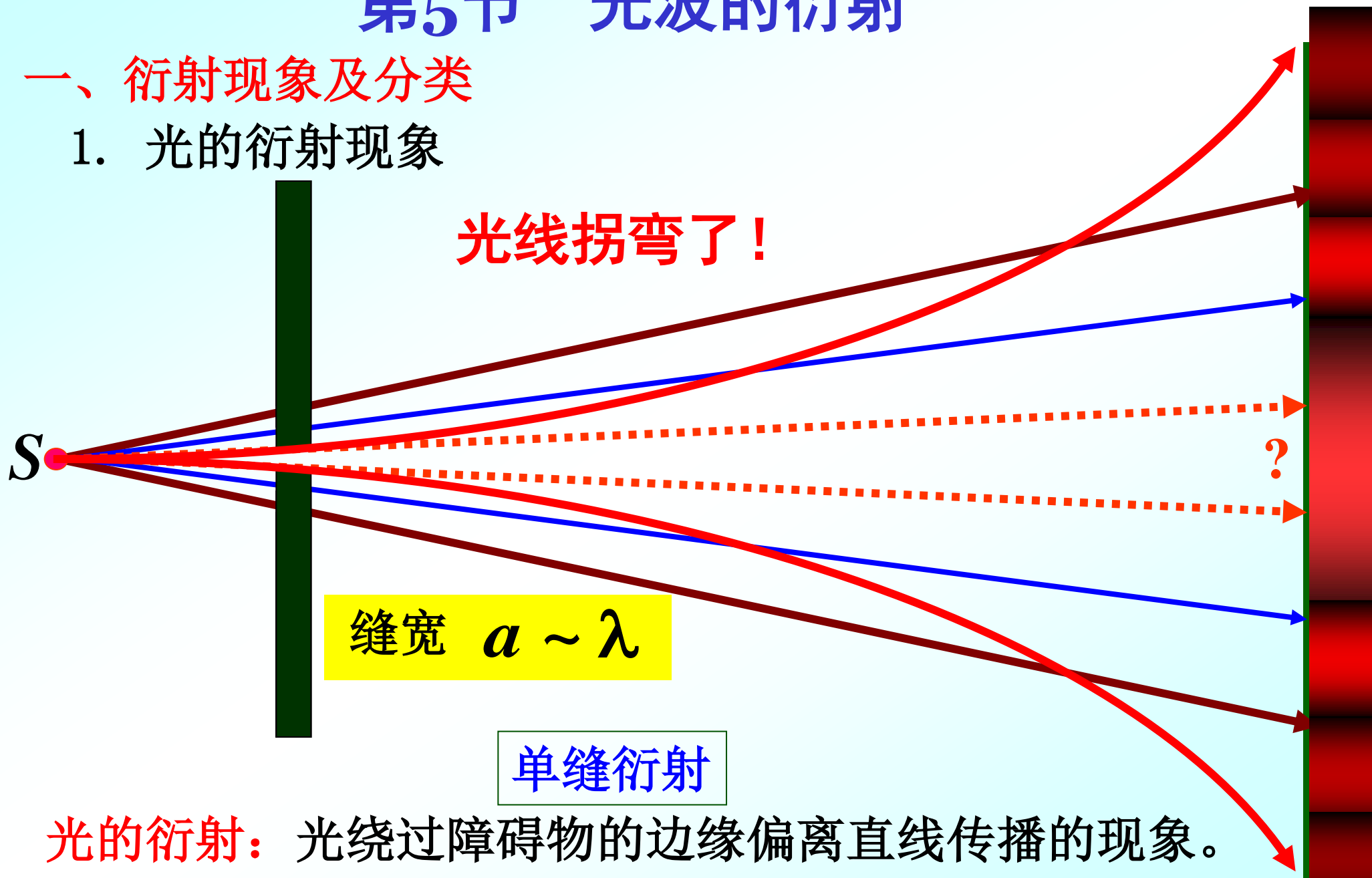
——等厚条纹

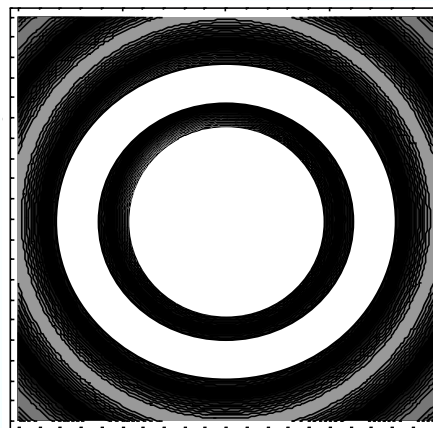
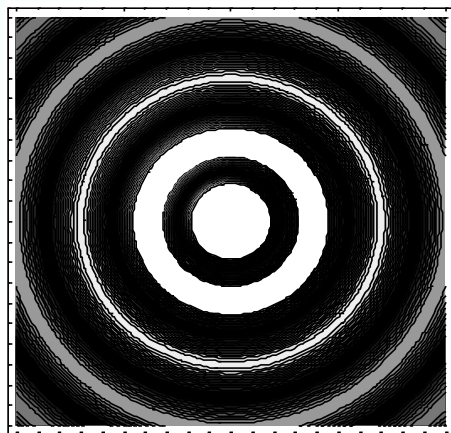
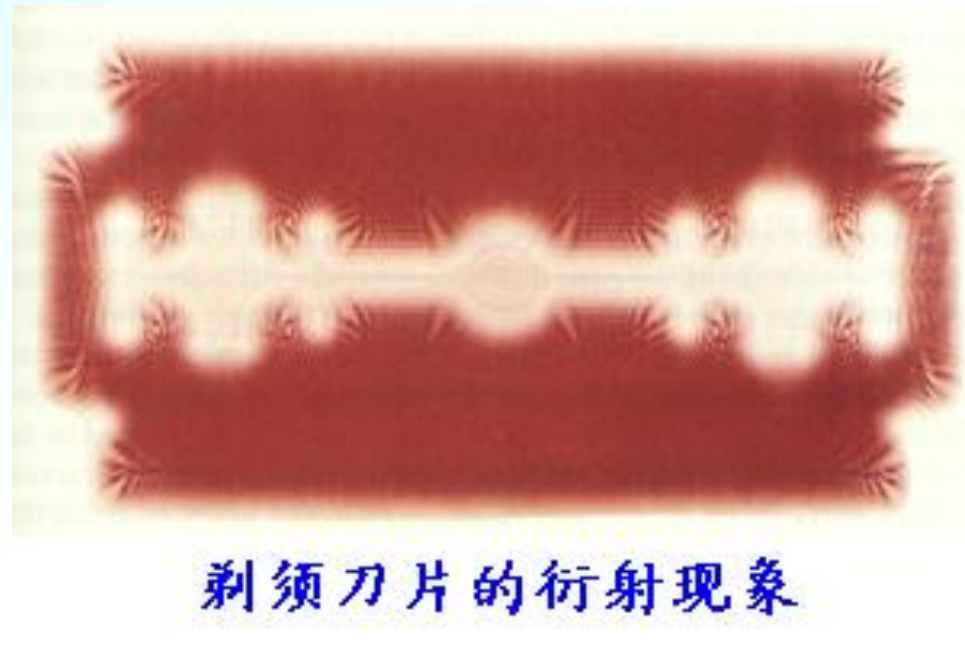
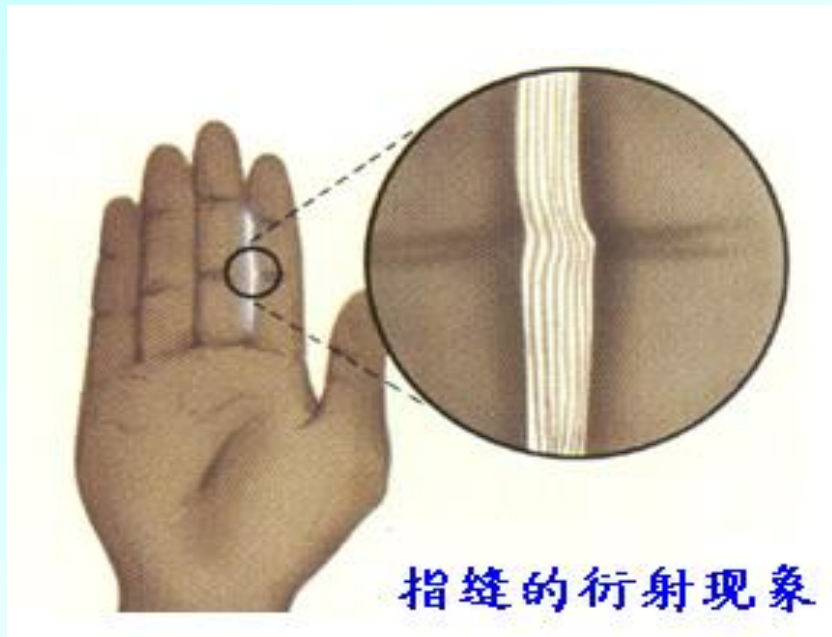


第5节 光波的衍射

一、衍射现象及分类

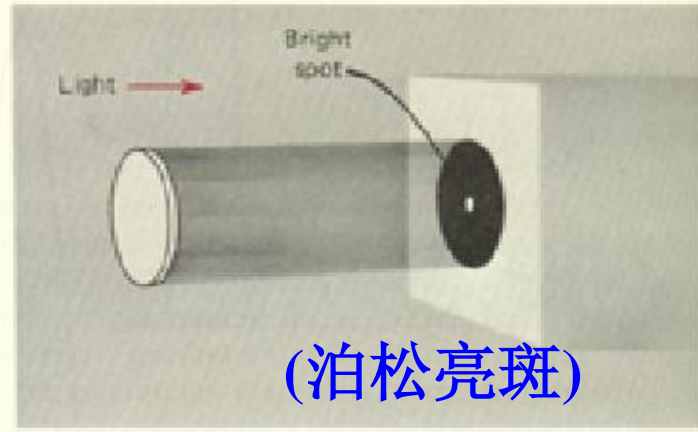
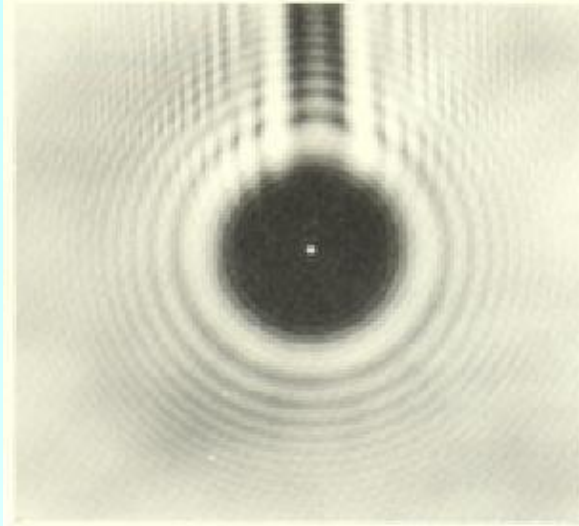
1. 光的衍射现象





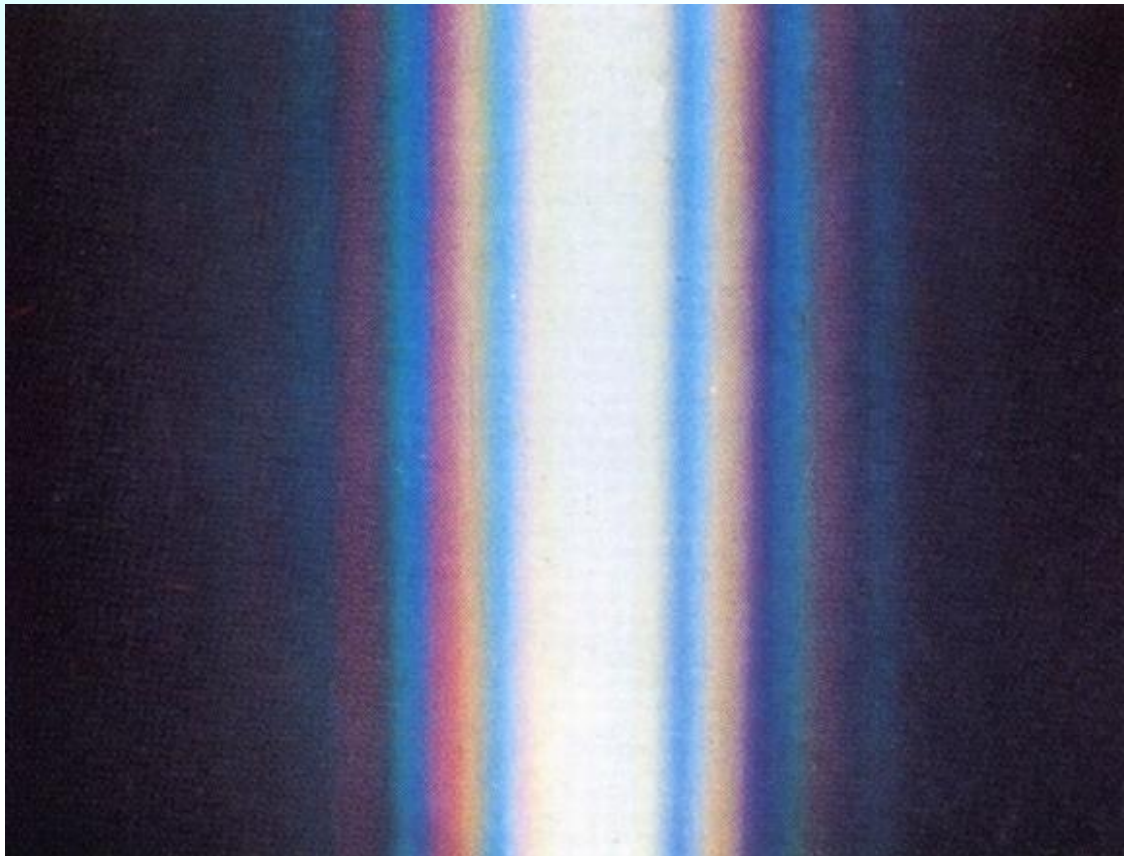
圆孔衍射现象

圆盘的衍射现象



(泊松亮斑)

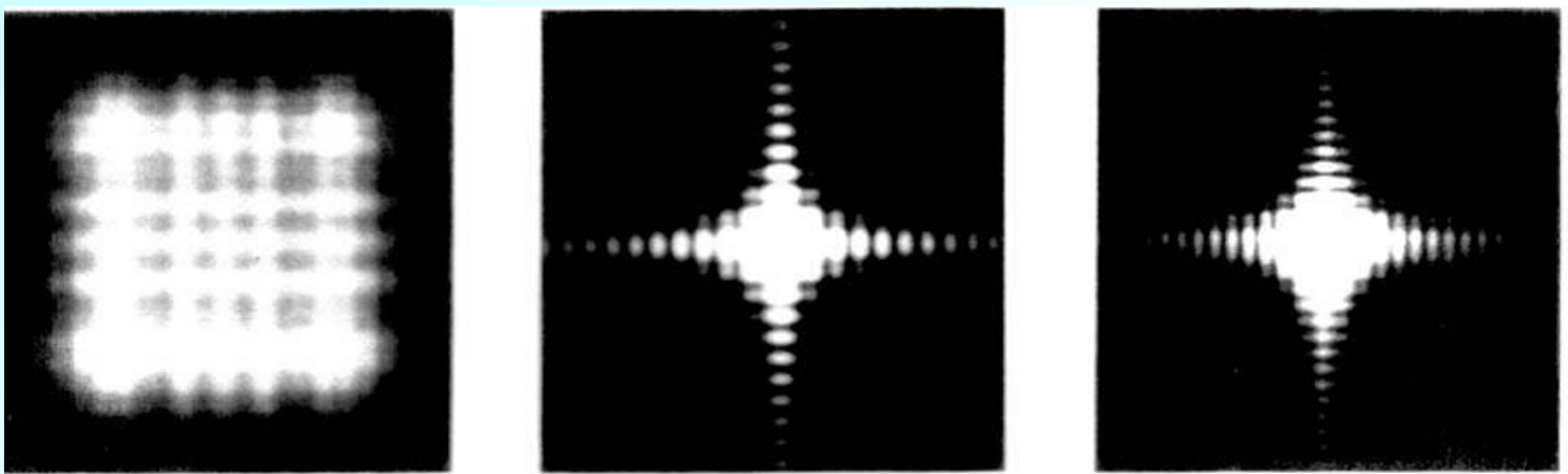
当单色光照射在直径恰当的小圆板时，会在之后的光屏上出现环状的互为同心圆的衍射条纹，并且在所有同心圆的圆心处会出现一个极小的亮斑，这个亮斑就被称为**泊松亮斑**。



1818年，巴黎科学院举行以解释衍射现象为内容的有奖竞赛，年轻的**菲涅耳**提出了**惠更斯-菲涅耳原理**，并出人意料地取得了优胜，开始了**光的波动说**的兴旺时期。

杨氏双缝干涉(1801年)

单缝衍射(白光)



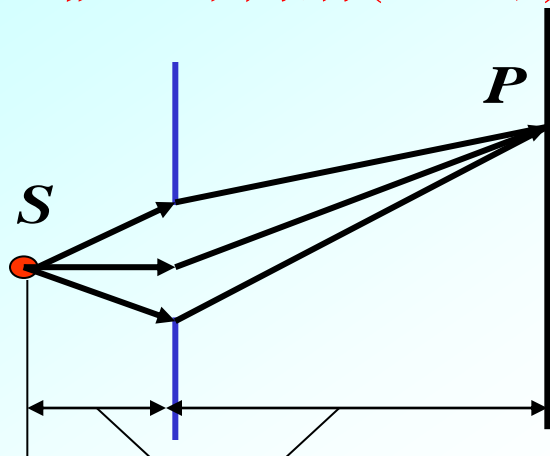
再比如：夜晚看远处的灯光不是一个点，而是光芒四射。原因是由于瞳孔边缘使光发生了衍射。



方孔菲涅耳衍射

2. 两类衍射（衍射的分类）

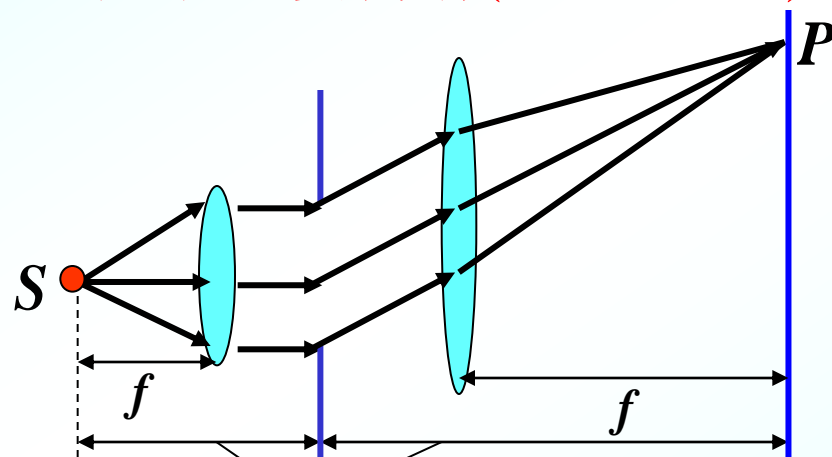
菲涅耳衍射(1818年)



有限远

{ 入射光为非平行光
衍射光为非平行光

夫朗和费衍射(1821-1822年)



无限远

{ 入射光为平行光
衍射光为平行光

(可利用透镜达到此要求)

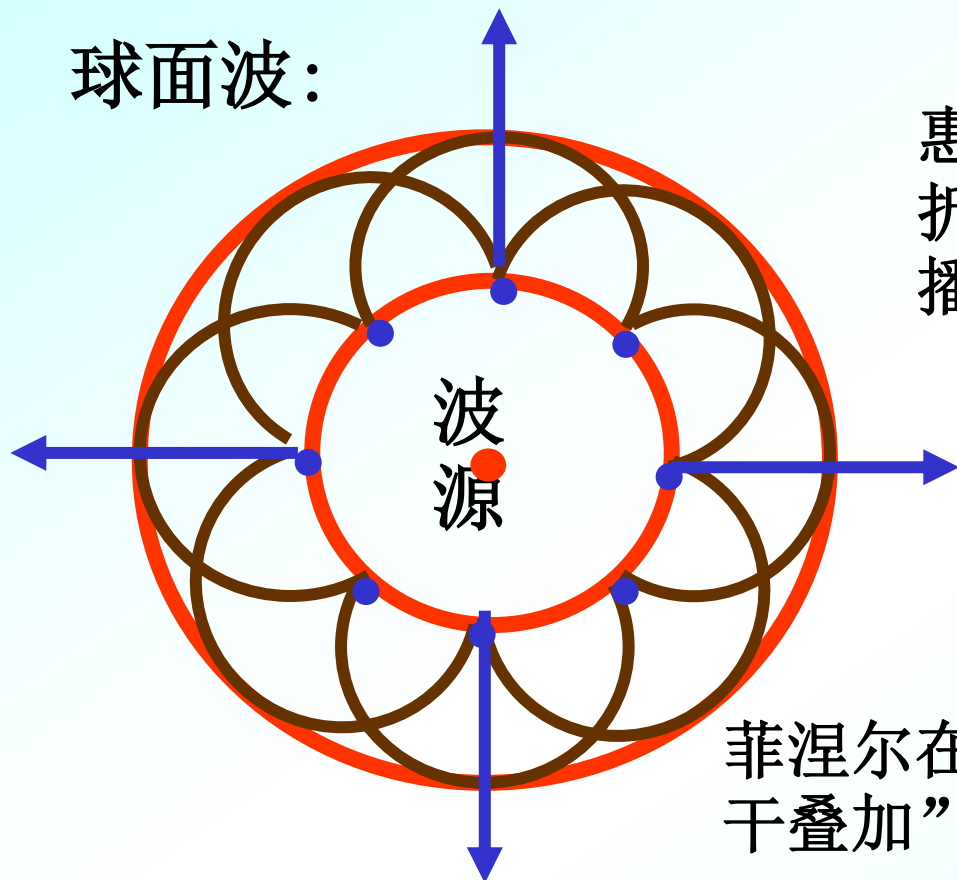
◆ 显然，夫朗和费衍射是菲涅耳衍射的一个特例。

本章只研究夫朗和费衍射。

● 惠更斯原理（回顾）

媒质中任一波阵面上的各点，都可以看作是发射球面子波的波源，其后任一时刻，这些子波的包迹就是新的波阵面。

球面波：



惠更斯原理定性地说明了波的反射、折射、衍射等现象，解决了波的传播方向问题。

惠更斯原理的不足：

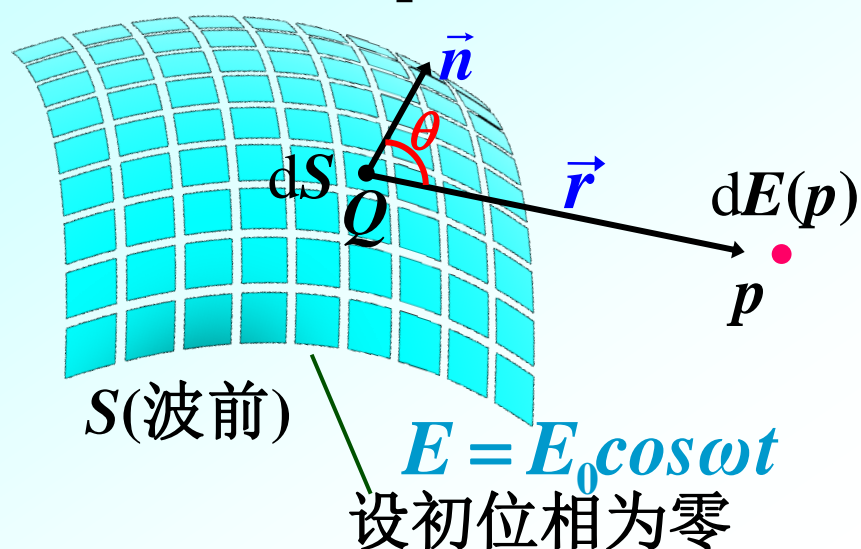
- 1) 不能给出各子波的强度分布
- 2) 不能解释为什么不存在退行波

菲涅尔在次级子波的基础上，提出了“子波相干叠加”理论，又称为“**惠更斯-菲涅尔原理**”。

- 同一波面上的每一个**微小面元**都可以看作是新的振动中心，它们发出次级子波。这些次级子波经传播而在空间某点相遇，该点的振动是所有这些次级波在该点的相干叠加。

二、惠更斯——菲涅耳原理（处理衍射问题的理论基础）

◆ 波阵面 Σ 上各面元所发出的球面子波在观察点 p 的相干叠加决定了 p 点的合振动及光强。



$$dE_{(p)} \propto \frac{A(Q)f(\theta)}{r} dS \cdot \cos(\omega t - \frac{2\pi r}{\lambda})$$

方向因子 $f(\theta)$: $\left\{ \begin{array}{l} \theta=0, \quad f=f_{\max} \\ \theta \Rightarrow f(\theta) \downarrow \\ \theta \geq \frac{\pi}{2}, f=0 \end{array} \right.$

不存在退行子波

$A(Q)$ 取决于波前上 Q 点处的强度。

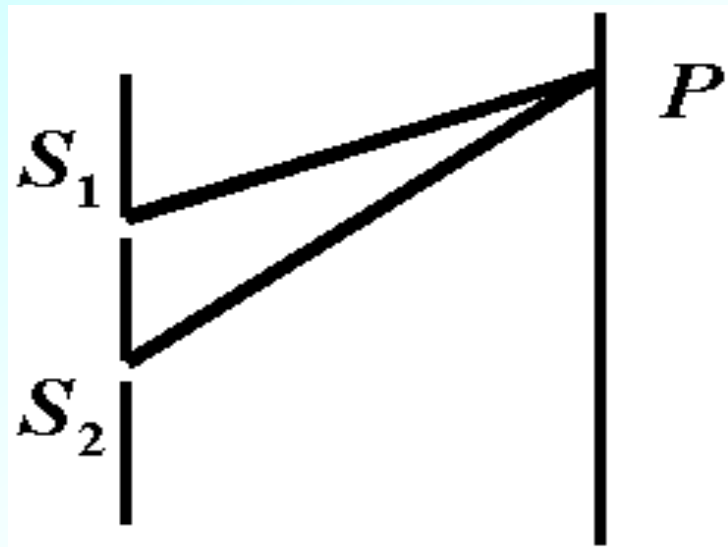
$$dE_{(p)} = C \frac{A(Q) \cdot f(\theta)}{r} dS \cdot \cos(\omega t - \frac{2\pi r}{\lambda}) \quad (C \text{——比例系数})$$

$$E_{(p)} = C \iint_s \frac{A(Q) \cdot f(\theta)}{r} \cdot \cos(\omega t - \frac{2\pi r}{\lambda}) \cdot dS$$

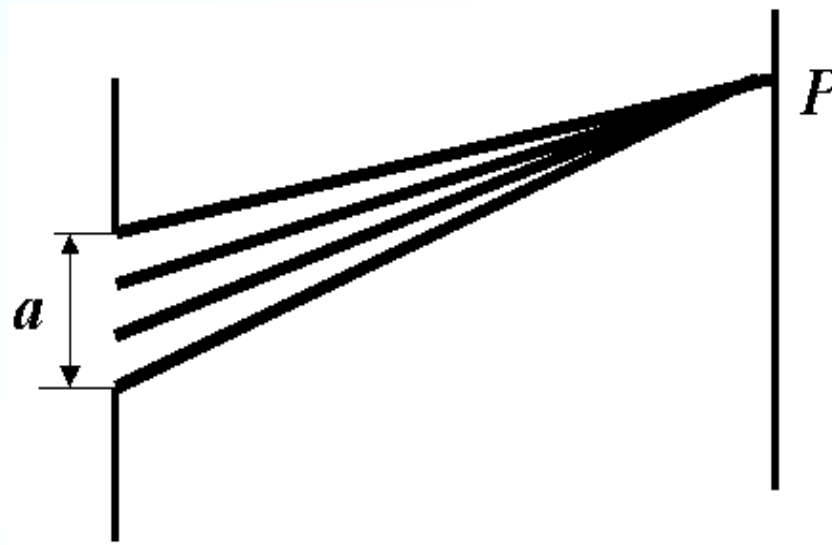
$$= E_{0(p)} \cdot \cos(\omega t + \varphi_p) \quad p \text{处波的强度: } I_{(p)} \propto (E_{0(p)})^2$$

衍射现象:实为无限多个无限小的子波的干涉效应。

干涉与衍射的区别

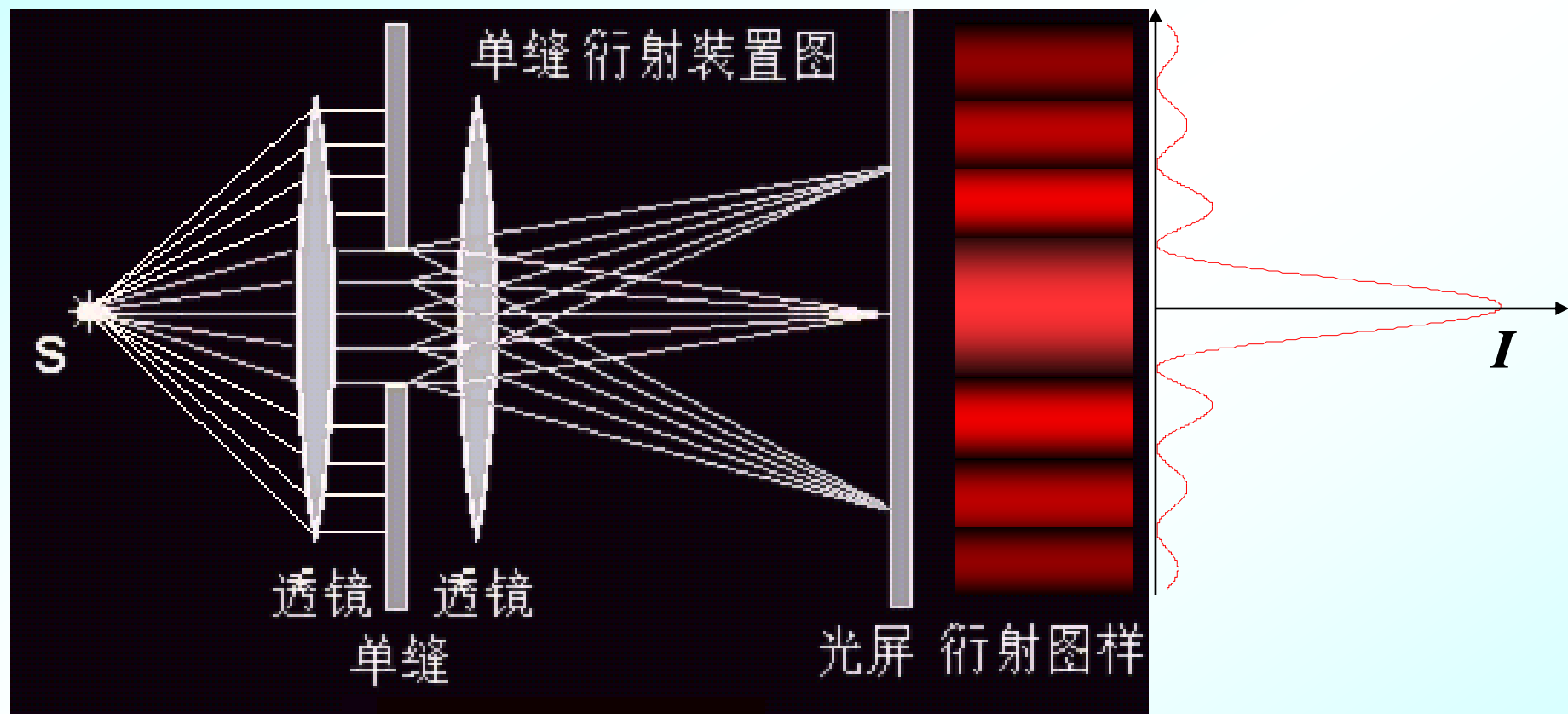


干涉:有限子波迭加干涉



衍射:无限子波迭加干涉

三. 单缝夫朗和费衍射



要研究的问题 { 明暗条纹位置分布
条纹强度分布

3.1 衍射光强的计算

(方法一：惠更斯——菲涅耳原理)

S : 单色光源

θ : 衍射角

$\overline{AB} = a$ (缝宽) $\ll f$

$$C \frac{A(Q)f(\theta)}{r} \approx C'$$

$$E_{(p)} = C \iint_{S_{a/2}} \frac{A(Q) \cdot f(\theta)}{r} \cdot \cos(\omega t - \frac{2\pi r}{\lambda}) \cdot dS$$

$$= C'' \int_{-a/2}^{a/2} \cos(\omega t - \frac{2\pi r}{\lambda}) \cdot dx$$

$$dS = l dx$$

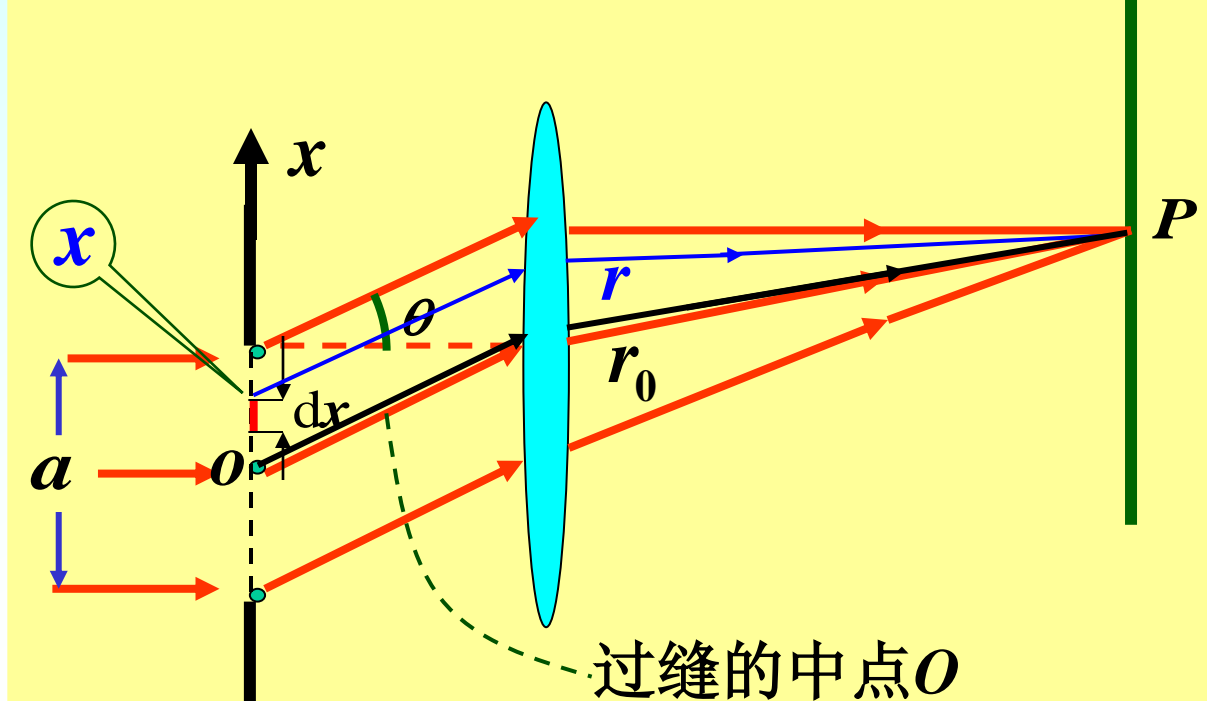
单缝衍射因子

$$r = r_0 - x \sin \theta$$

$$= E_0 \frac{\sin \alpha}{\alpha} \cos 2\pi \left(\frac{t}{T} - \frac{r_0}{\lambda} \right) \text{ 其中: } E_0 = C'' a$$

$$\alpha = \frac{\pi a \sin \theta}{\lambda}$$

p 点的合振幅为: $E_{p_\theta} = E_0 \frac{\sin \alpha}{\alpha}$ p 点的光强为: $I_\theta = I_0 \left(\frac{\sin \alpha}{\alpha} \right)^2$



3.2 衍射光强的计算

(方法二: 振幅矢量叠加法)

将缝分成 N 个等宽窄条, 宽度 $\Delta x = \frac{a}{N}$

每窄条视为子波波源, 在 P 点光振动

振幅为 ΔE_0 (每个窄条的近似视为相等)

相邻两窄条引起的位相差为 $\Delta\phi = \frac{2\pi}{\lambda} \Delta x \sin\theta$

$$p_0 \longrightarrow \sin\theta=0 \quad \Delta\phi=0$$

$$p \longrightarrow \Delta\phi = \frac{2\pi}{\lambda} \Delta x \sin\theta \neq 0$$

$N \rightarrow \infty$ 振幅链条变成圆弧

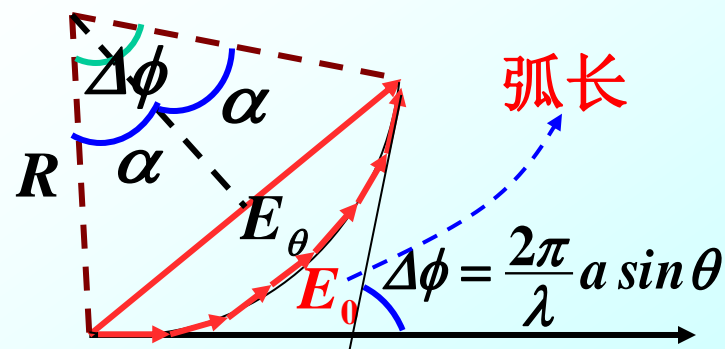
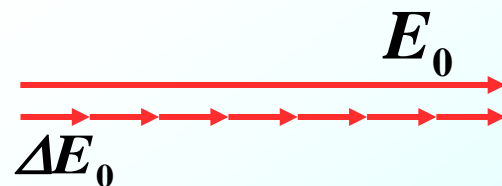
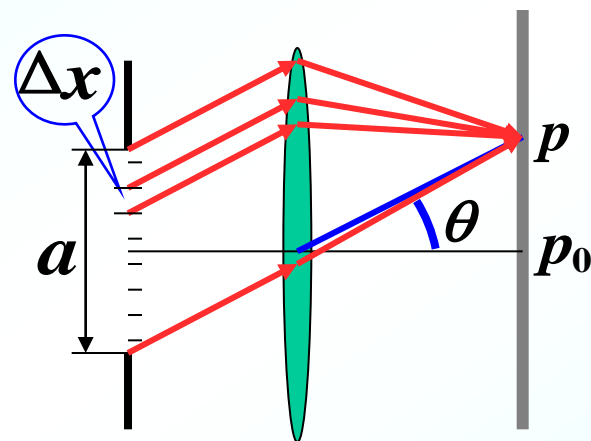
$$\because \frac{E_0}{R} = \Delta\phi = 2\alpha \quad \therefore R = \frac{E_0}{2\alpha}$$

$$E_\theta = 2R \sin\alpha = E_0 \frac{\sin\alpha}{\alpha}$$

$$\because I_\theta \propto E_\theta^2 \quad \therefore I_\theta = I_0 \left(\frac{\sin\alpha}{\alpha} \right)^2$$

其中

$$\alpha = \frac{\Delta\phi}{2} = \frac{\pi a \sin\theta}{\lambda}$$



对于任意点P: $\Delta\varphi = \frac{\Delta x \sin\theta}{\lambda} 2\pi$

合振幅可用复数形式表示:

$$E_p = E_1 + E_1 e^{i\eta} + E_1 e^{i2\eta} + \dots + E_1 e^{i(N-1)\eta}$$

$$= E_1 [1 + e^{i\eta} + e^{i2\eta} + \dots + e^{i(N-1)\eta}]$$

$$= E_1 \frac{e^{iN\eta} - 1}{e^{i\eta} - 1}$$

$$\xi = \frac{\pi a \sin\theta}{N\lambda}$$

$$\alpha = \frac{\pi a \sin\theta}{\lambda}$$

P点的光强:

$$I = E_p \cdot E_p^* = E_1 \frac{e^{iN\eta} - 1}{e^{i\eta} - 1} \cdot E_1 \frac{e^{-iN\eta} - 1}{e^{-i\eta} - 1} =$$

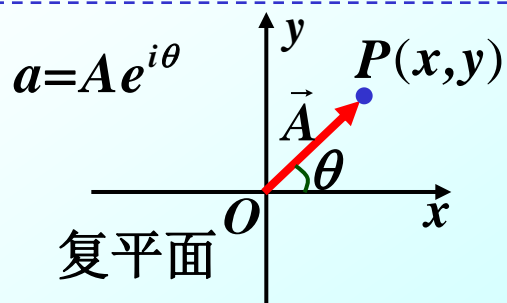
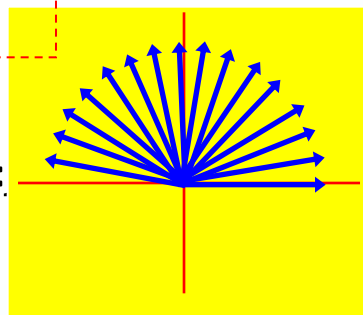
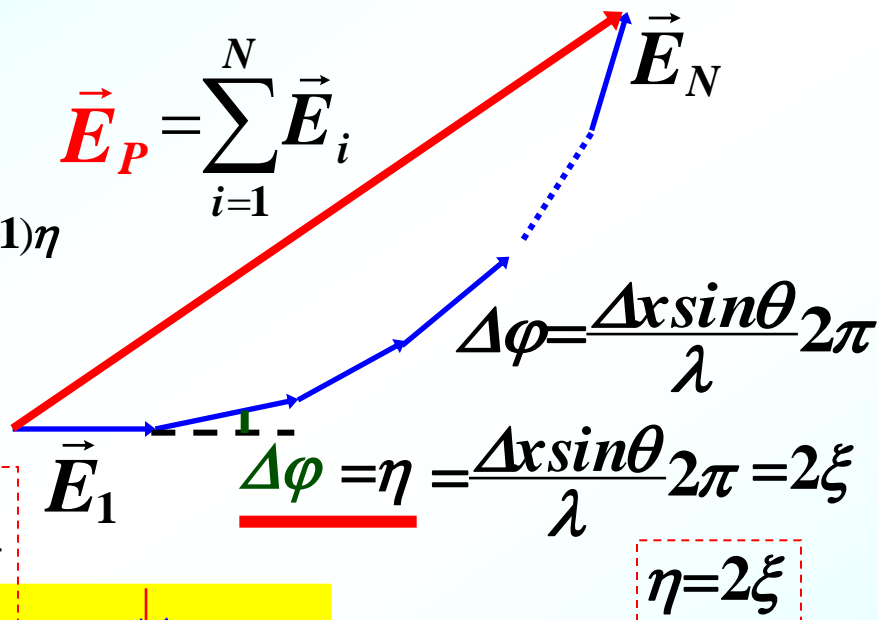
$$= E_1^2 \left(\frac{\sin N\xi}{\sin \xi} \right)^2 = E_1^2 \left(\frac{\sin \frac{\pi a \sin\theta}{\lambda}}{\frac{\pi a \sin\theta}{N\lambda}} \right)^2$$

($N \rightarrow \infty$)

$$= E_1^2 N^2 \left(\frac{\sin \frac{\pi a \sin\theta}{\lambda}}{\frac{\pi a \sin\theta}{\lambda}} \right)^2 \text{ 即 } P \text{ 点处:}$$

$$I = I_0 \left(\frac{\sin \alpha}{\alpha} \right)^2$$

$$\vec{E}_P = \sum_{i=1}^N \vec{E}_i$$



$$\vec{A} \leftrightarrow a = A \cos\theta + i A \sin\theta$$

$$\vec{A} + \vec{B} = A e^{i\theta} + B e^{i\beta}$$

$$e^{i\theta} = \cos\theta + i \sin\theta$$

3.3 光强分布:

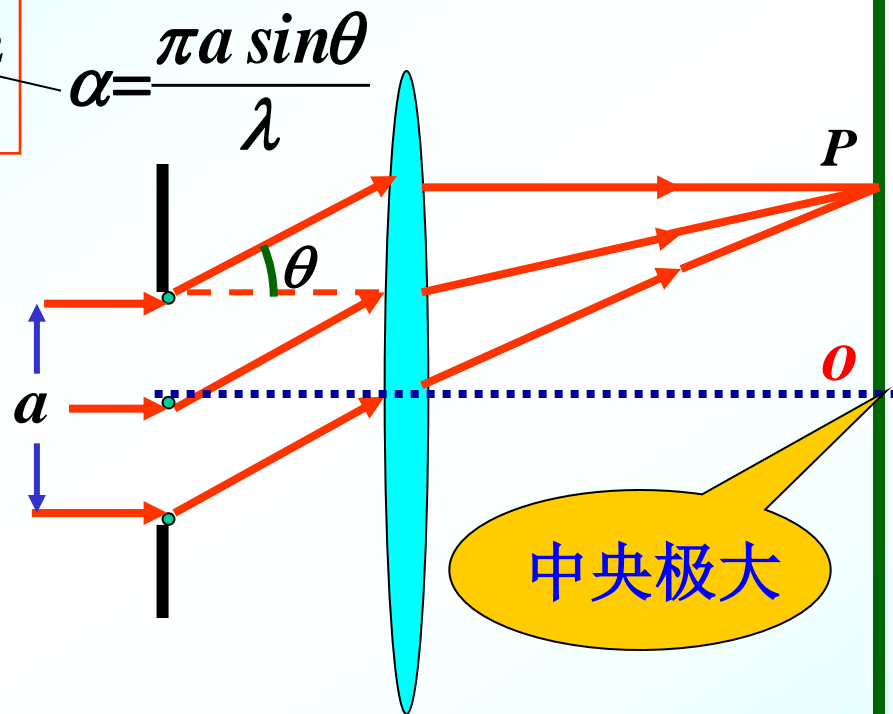


$$I_{\theta} = I_o \left(\frac{\sin \alpha}{\alpha} \right)^2 \quad \alpha = \frac{\pi a \sin \theta}{\lambda}$$

1) 在屏上 θ 角相同处光强相同

即: 相同光强的点分布在
一条与缝平行的直线上

2) 当 $\theta=0$, $\alpha=0$ 则: $\frac{\sin \alpha}{\alpha}=1$
 $I_{\theta=0} = I_o = I_{Max}$



即: 透镜L的主光轴与屏的交点处有最大光强,
又称为主极大或零级衍射斑。

3) 当 $\alpha \neq 0$ $\sin \alpha = 0$ 则: $\frac{\pi a \sin \theta}{\lambda} = \pm k \pi \quad k \neq 0$

即: $a \sin \theta = \pm k \lambda \quad k = 1, 2, \dots$ ——衍射极小条件

$I_{\theta} = 0$ 此 θ 角处出现光强极小的暗条纹

$$I_{\theta} = I_0 \left(\frac{\sin \alpha}{\alpha} \right)^2 \quad \alpha = \frac{\pi a \sin \theta}{\lambda}$$

✓ 除了主极大外，屏上光强分布还有次极大存在。次极大的位置可以计算得到。

4) 当 $\frac{d}{d\alpha} \left(\frac{\sin \alpha}{\alpha} \right)^2 = 0 \longrightarrow \operatorname{tg} \alpha = \alpha$ 光强有极大值

$$k = 1, 2, \dots$$

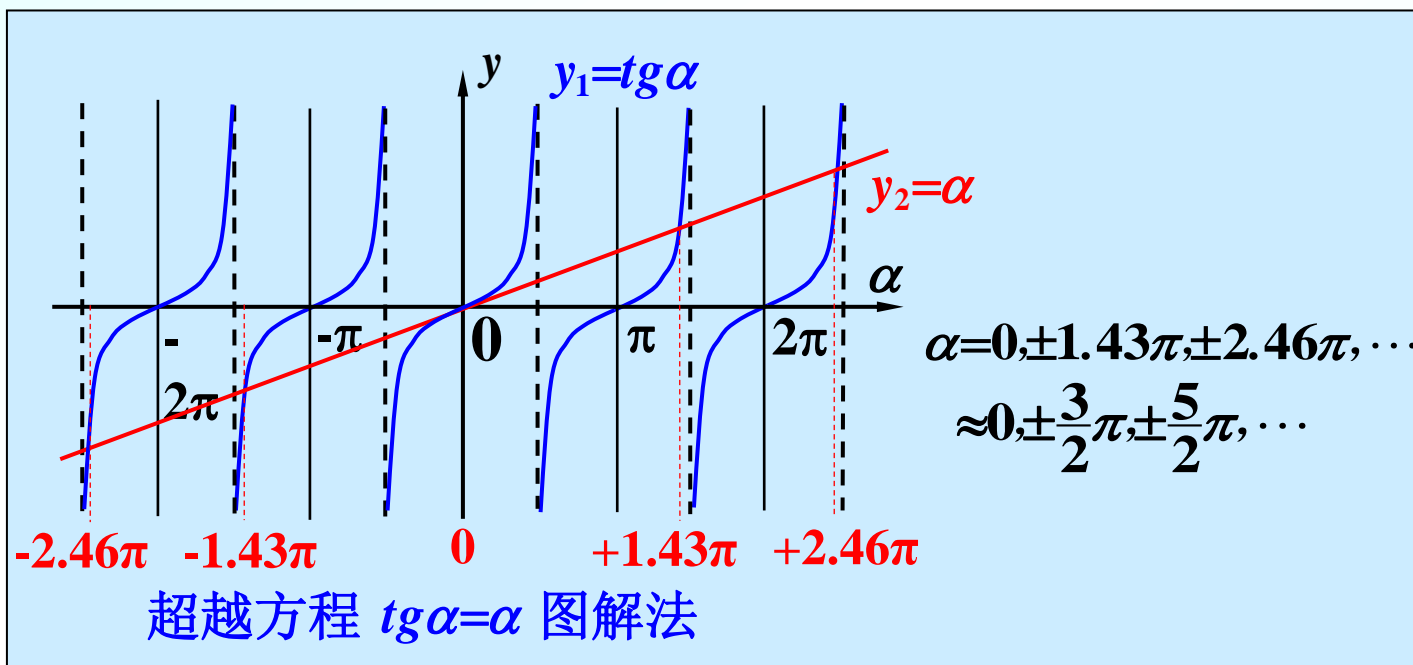
解得： $\alpha = \pm 1.43\pi, \pm 2.46\pi, \pm 3.47\pi, \dots$

相应： $a \sin \theta = \pm 1.43\lambda, \pm 2.46\lambda, \pm 3.47\lambda, \dots$

$$a \sin \theta = \pm (2k+1) \frac{\lambda}{2}$$

近似表示为

衍射次极大
又称高级衍射斑



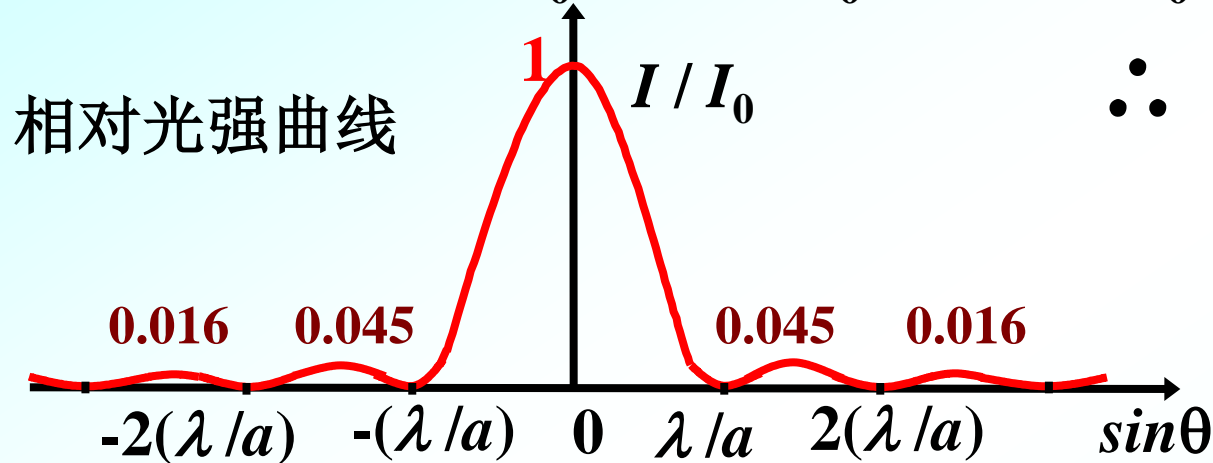
主极大: $a \sin \theta = 0$ 衍射次极大: $a \sin \theta = \pm (2k+1) \frac{\lambda}{2}$

$$I_{\theta} = I_0 \left(\frac{\sin \alpha}{\alpha} \right)^2$$

5) 光强 □ 中央主极大的光强: $I_{Max} = I_0 \propto (C''a)^2$

□ 次极大的光强: 计算可得各次极大的光强依次为:

$$0.045I_0, 0.016I_0, 0.0083I_0, \dots$$



$$\therefore I_{\text{次极大}} \ll I_{\text{主极大}}$$



$$a \sin \theta = \pm k \lambda$$

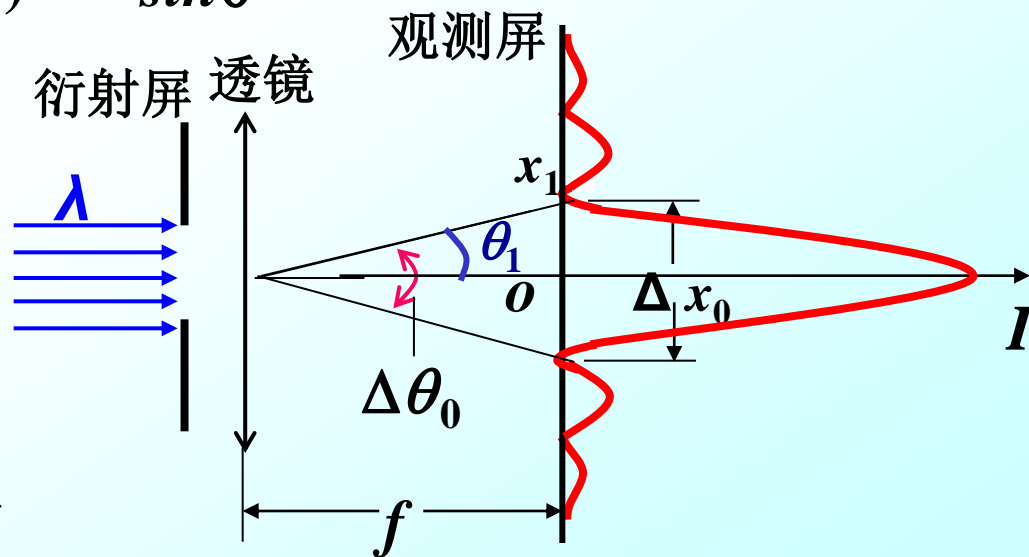
暗条纹位置

6) 条纹宽度

中央明纹: $a \gg \lambda$ 时, $\sin \theta_1 \approx \theta_1$

角宽度 $\Delta \theta_0 = 2\theta_1 \approx 2 \frac{\lambda}{a}$

线宽度 $\Delta x_0 = 2f \cdot \tan \theta_1$
 $= 2f \theta_1 = 2f \frac{\lambda}{a} \propto \frac{\lambda}{a}$



(方法一:惠更斯——菲涅耳原理)——推导过程说明

$$E_{(p)} = C \iint_s \frac{A(Q) \cdot f(\theta)}{r} \cdot \cos(\omega t - \frac{2\pi r}{\lambda}) \cdot dS$$

$$= C'' \int_{-a/2}^{a/2} \cos(\omega t - \frac{2\pi r}{\lambda}) \cdot dx \quad r = r_0 - x \sin \theta$$

$$= C'' \int_{-a/2}^{a/2} \cos 2\pi \left(\frac{t}{T} - \frac{r}{\lambda} \right) \cdot dx = C'' \int_{-a/2}^{a/2} \cos 2\pi \left(\frac{t}{T} - \frac{r_0 - x \sin \theta}{\lambda} \right) \cdot dx$$

$$= C'' \frac{\lambda}{2\pi \sin \theta} \int_{-a/2}^{a/2} \cos 2\pi \left(\frac{t}{T} - \frac{r_0 - x \sin \theta}{\lambda} \right) \cdot d \left[2\pi \left(\frac{t}{T} - \frac{r_0 - x \sin \theta}{\lambda} \right) \right]$$

$$= C'' \frac{\lambda}{2\pi \sin \theta} \cdot \sin \left[2\pi \left(\frac{t}{T} - \frac{r_0 - x \sin \theta}{\lambda} \right) \right] \Big|_{-a/2}^{a/2}$$

$$= C'' a \frac{\lambda}{2\pi a \sin \theta} \cdot 2 \sin \left(\frac{\pi a \sin \theta}{\lambda} \right) \cos 2\pi \left(\frac{t}{T} - \frac{r_0}{\lambda} \right)$$

$$= E_0 \frac{\sin \alpha}{\alpha} \cos 2\pi \left(\frac{t}{T} - \frac{r_0}{\lambda} \right)$$

记:

$$E_0 = C'' a$$

$$\alpha = \frac{\pi a \sin \theta}{\lambda}$$

$$I_\theta = I_0 \left(\frac{\sin \alpha}{\alpha} \right)^2$$

$$E_{p\theta} = E_0 \frac{\sin \alpha}{\alpha}$$